

Figura 287. Componente real de la J del rotor. $f_e=100\text{Hz}$ - $f_r=2.5\text{Hz}$ - $s=0.50$. $p=20$.

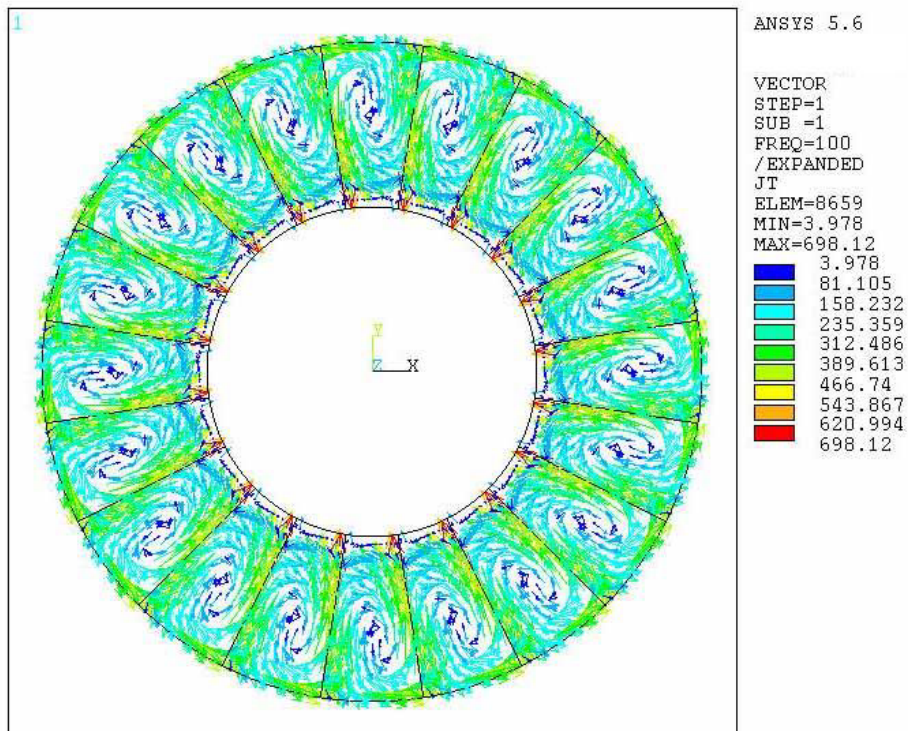


Figura 288. Componente imaginaria de la J del rotor. $f_e=100\text{Hz}$ - $f_r=2.5\text{Hz}$ - $s=0.50$. $p=20$.

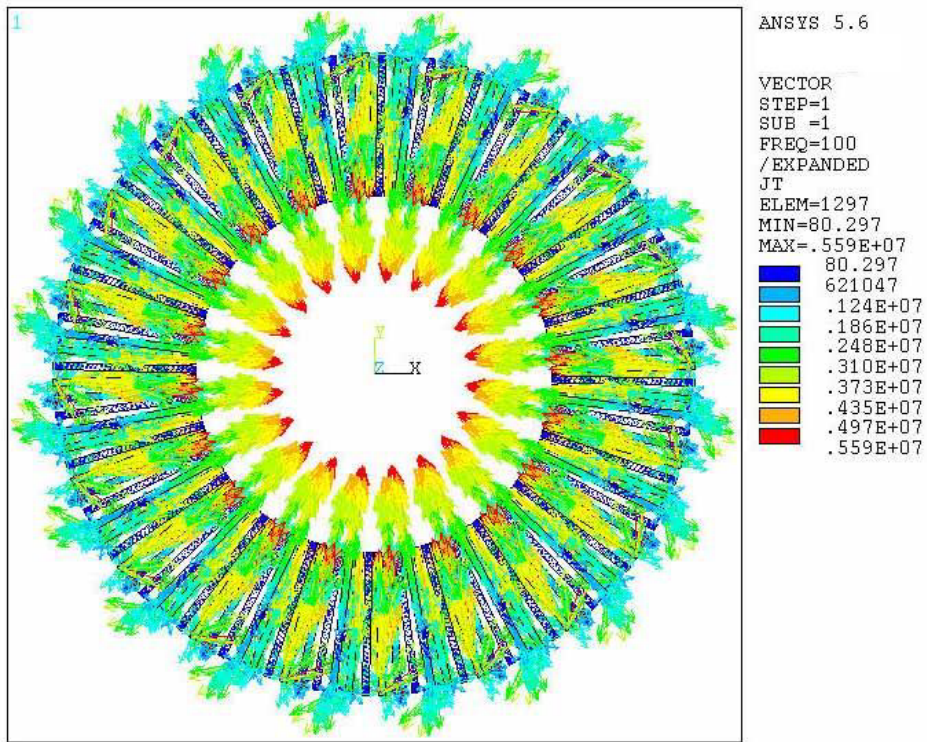


Figura 289. Componente real de las corrientes estáticas.
 $f_e=100\text{Hz}$ - $f_r=2.5\text{Hz}$ - $s=0.50$. $p=20$.

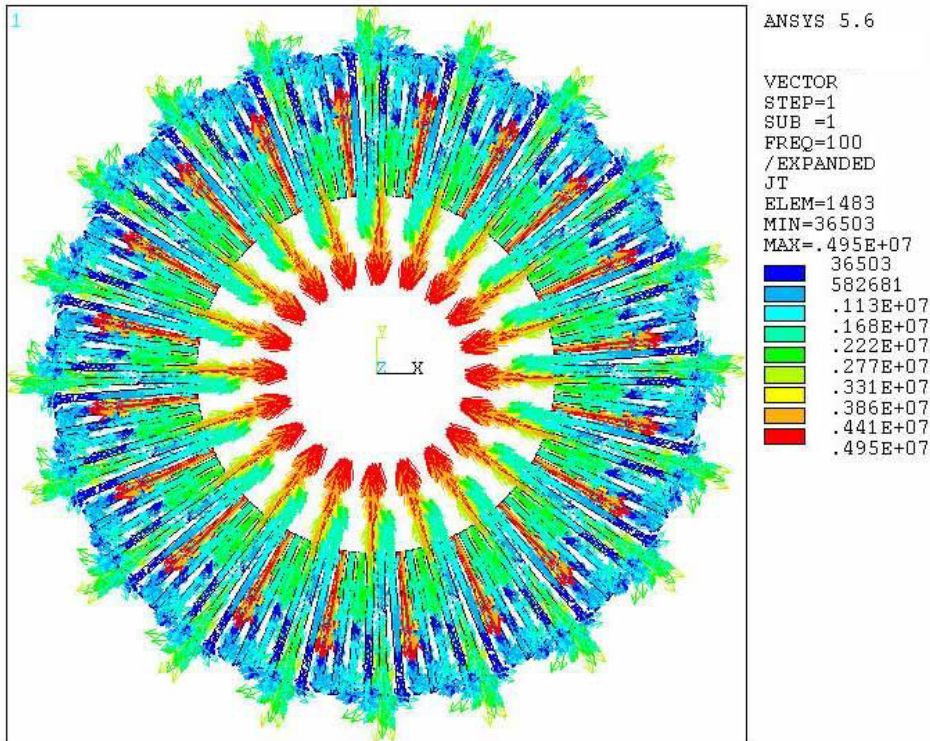


Figura 290. Componente imaginaria de las corrientes estáticas.
 $f_e=100\text{Hz}$ - $f_r=2.5\text{Hz}$ - $s=0.50$. $p=20$.

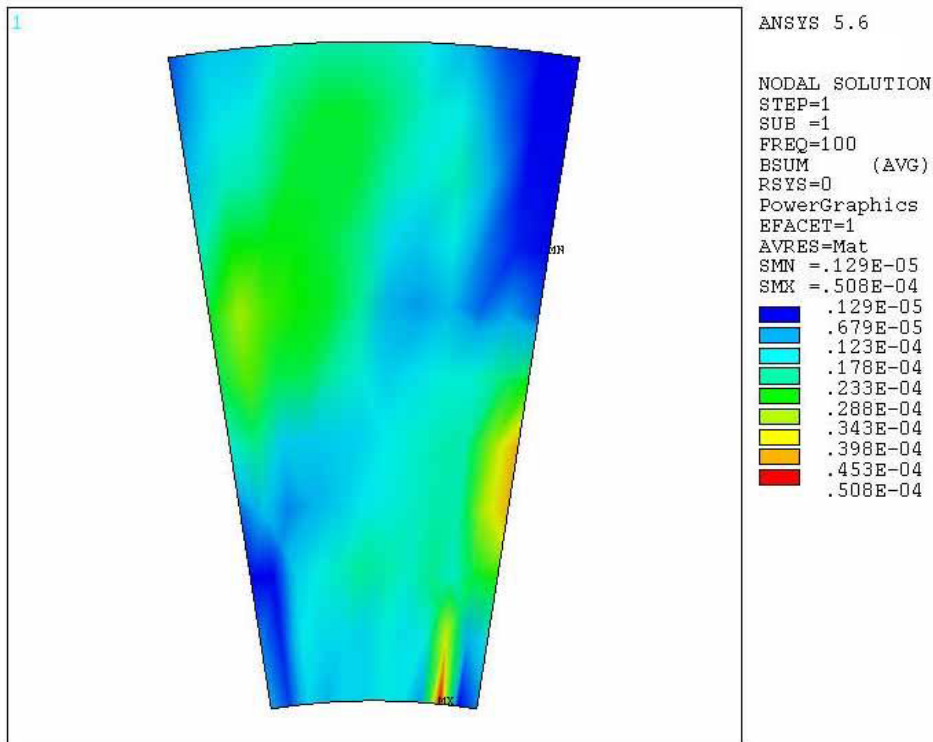


Figura 291. Componente real de la densidad de campo B.
 $f_e=100\text{Hz}$ - $f_r=2.5\text{Hz}$ - $s=0.50$. Distribución por par de polos $p=20$.

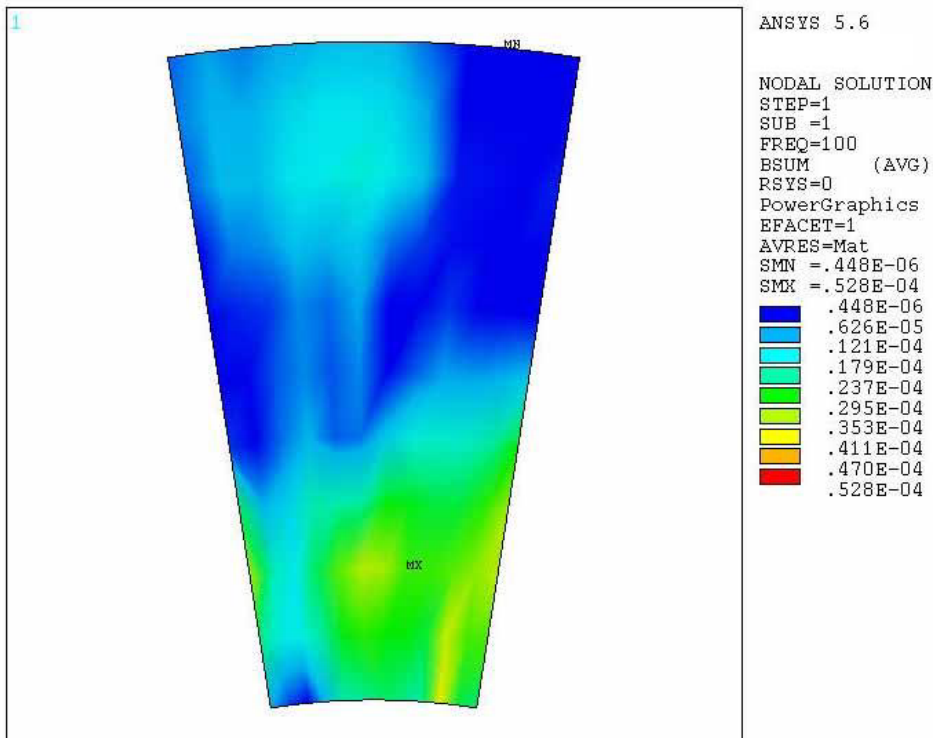


Figura 292. Componente imaginaria de la densidad de campo B.
 $f_e=100\text{Hz}$ - $f_r=2.5\text{Hz}$ - $s=0.50$. Distribución por par de polos $p=20$.

A.1.3.4. $s=0.999$ - $f_r=0.005\text{Hz}$.

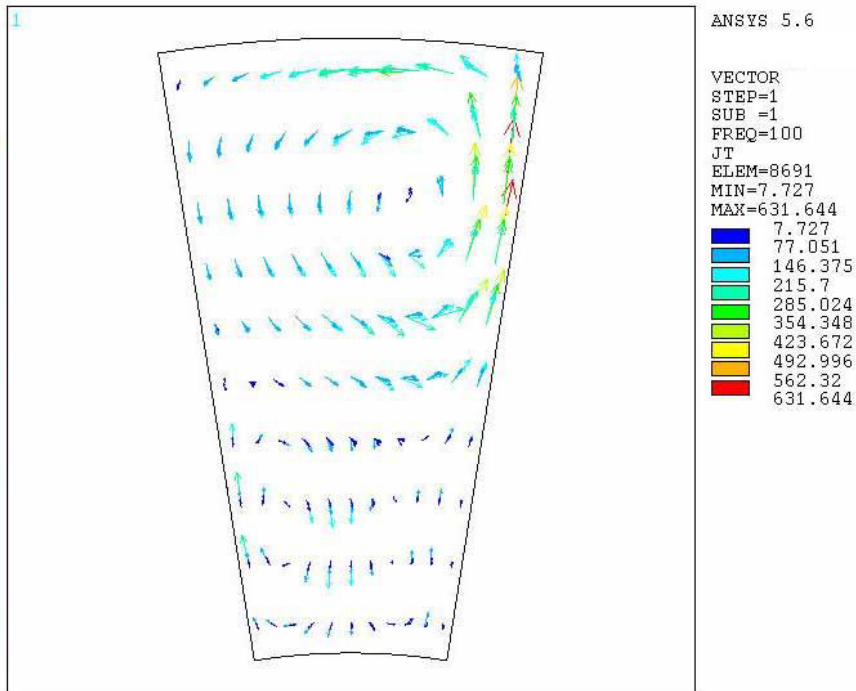


Figura 293. Componente real de la J del rotor. $f_e=100\text{Hz}$ - $f_r=0.005\text{Hz}$ - $s=0.999$. Distribución por par de polos $p=20$.

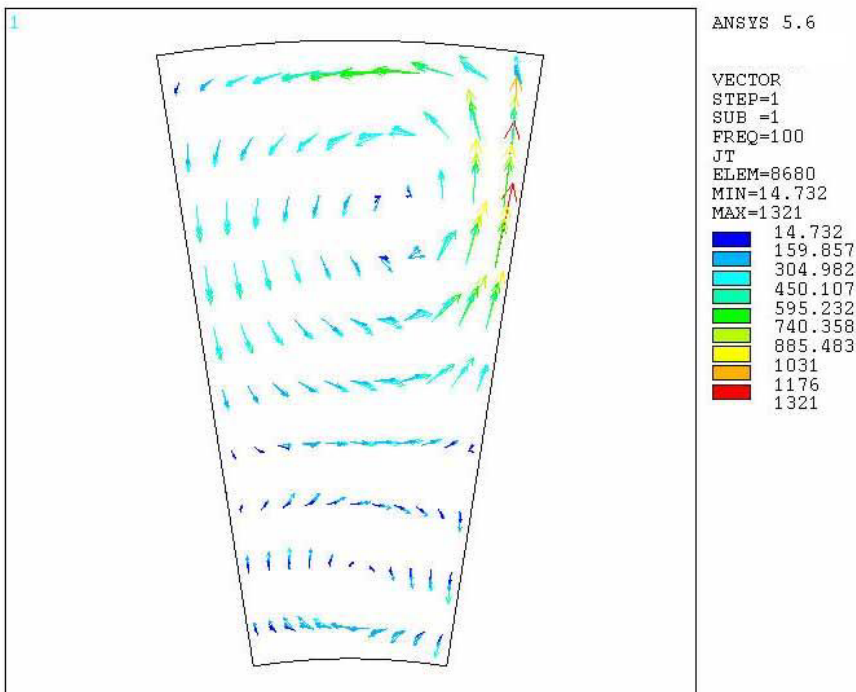


Figura 294. Componente imaginaria de la J del rotor. $f_e=100\text{Hz}$ - $f_r=0.005\text{Hz}$ - $s=0.999$. Distribución por par de polos $p=20$.

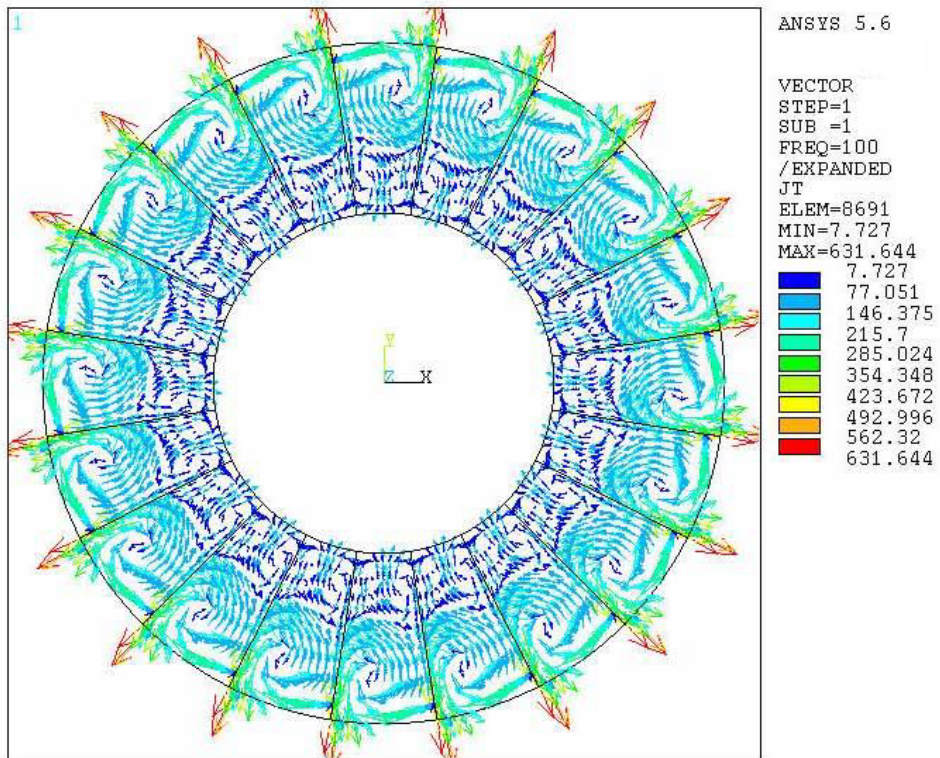


Figura 295. Componente real de la J del rotor. $f_e=100\text{Hz}$ - $f_r=0.005\text{Hz}$ - $s=0.999$. $p=20$.

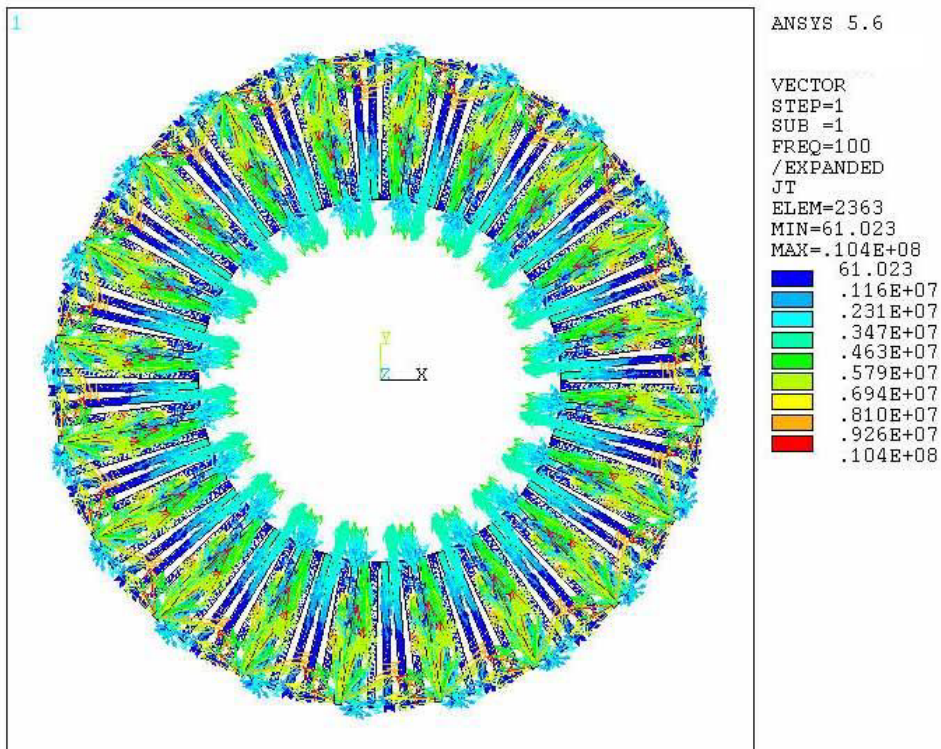


Figura 296. Componente real de las corrientes estáticas.
 $f_e=100\text{Hz}$ - $f_r=0.005\text{Hz}$ - $s=0.999$. $p=20$.

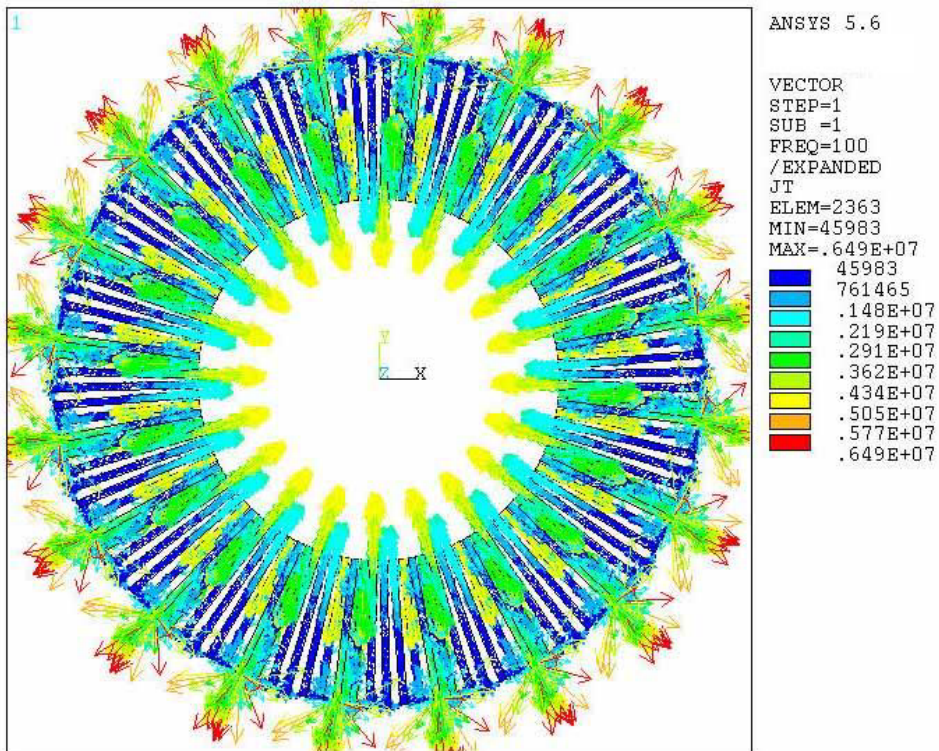


Figura 297. Componente imaginaria de las corrientes estáticas.
 $f_c=100\text{Hz}$ - $f_r=0.005\text{Hz}$ - $s=0.999$, $p=20$.

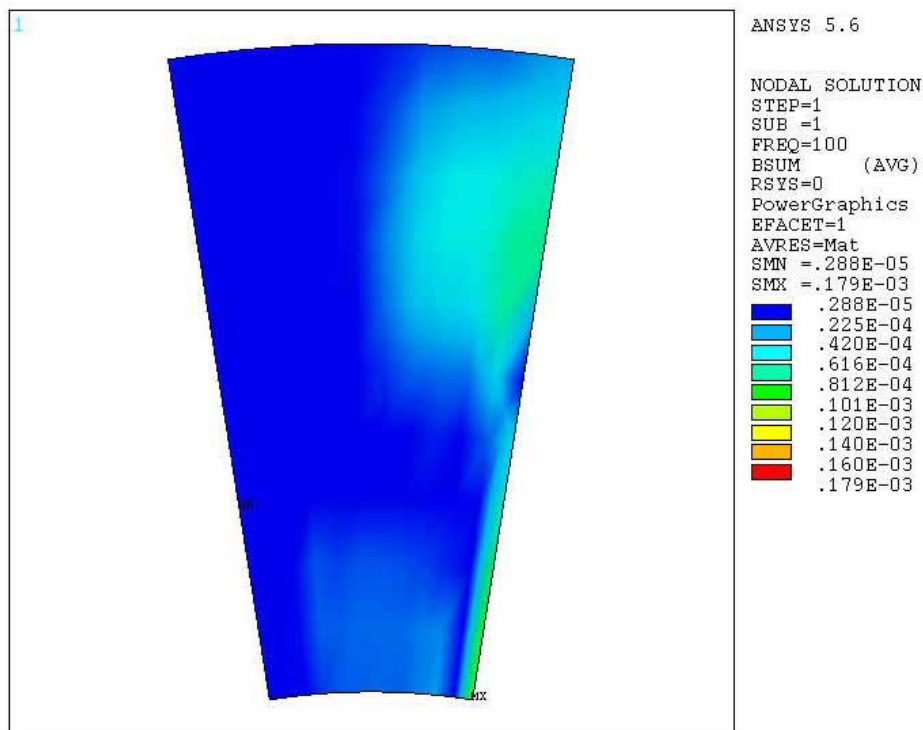


Figura 298. Componente real de la densidad de campo B.
 $f_c=100\text{Hz}$ - $f_r=0.005\text{Hz}$ - $s=0.999$, $p=20$.

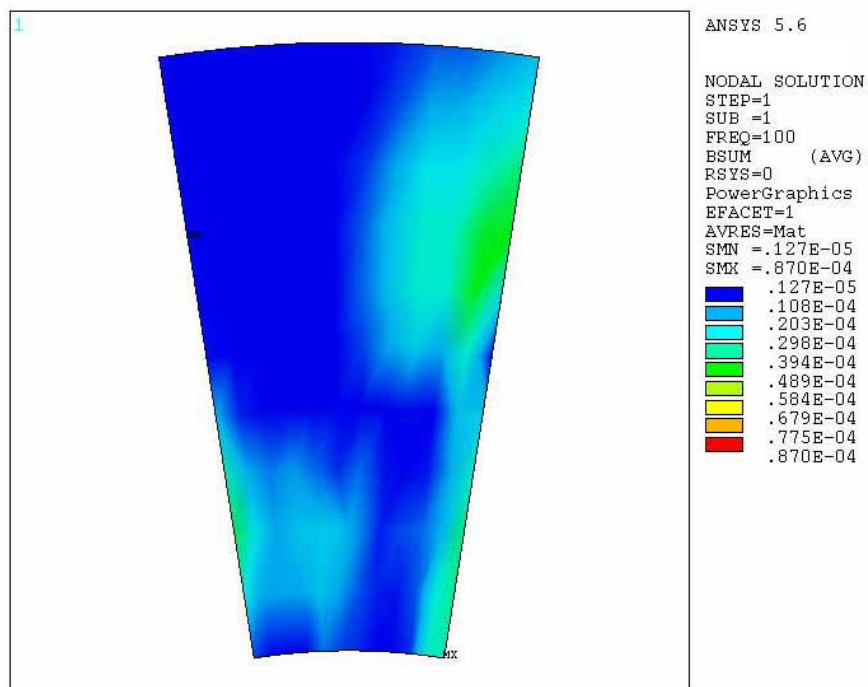


Figura 299. Componente imaginaria de la densidad de campo B.
 $f_e=100\text{Hz}$ - $f_r=0.005\text{Hz}$ - $s=0.999$. $p=20$.

A.1.4. Comportamiento del motor a una fe de 300 Hz, al variar el deslizamiento de $s=0.05$ hasta $s=0.999$.

A.1.4.1. $s=0.05$ - $f_r=14.25\text{Hz}$.

Ver A.1.1.4.

A.1.4.2. $s=0.20$ - $f_r=12\text{Hz}$.

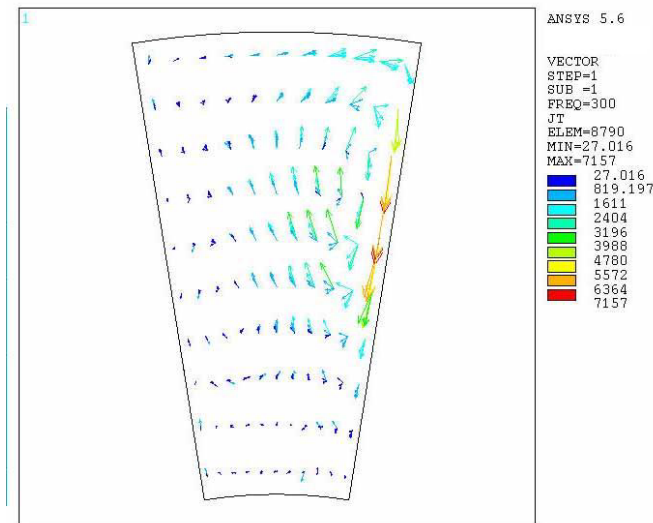


Figura 300. Componente real de la J del rotor. $f_e=300\text{Hz}$ - $f_r=12\text{Hz}$ - $s=0.20$. Distribución por par de polos $p=20$.

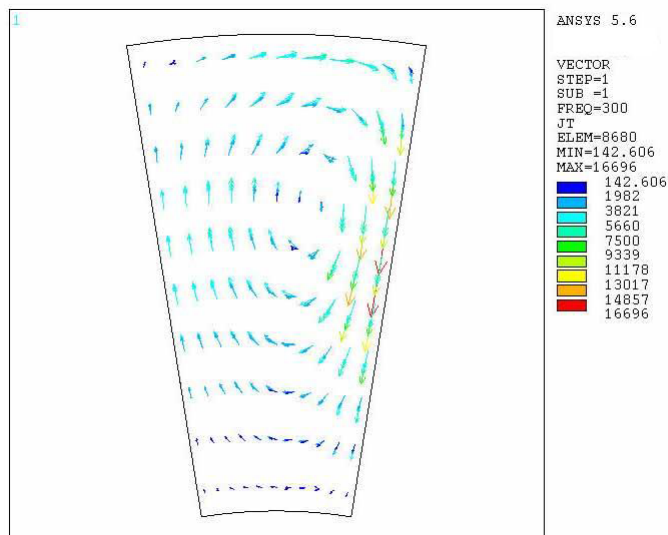


Figura 301. Componente imaginaria de la J del rotor $f_e=300\text{Hz}$ - $f_r=12\text{Hz}$ - $s=0.20$. Distribución por par de polos $p=20$.

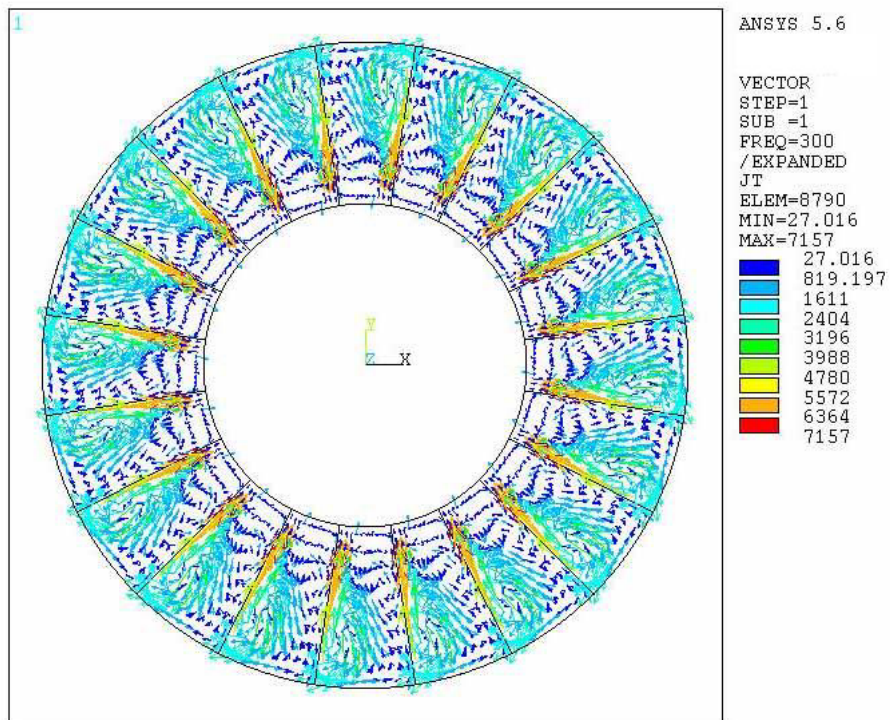


Figura 302. Componente real de la J del rotor. $f_e=300\text{Hz}$ - $f_r=12\text{Hz}$ - $s=0.20$. $p=20$.

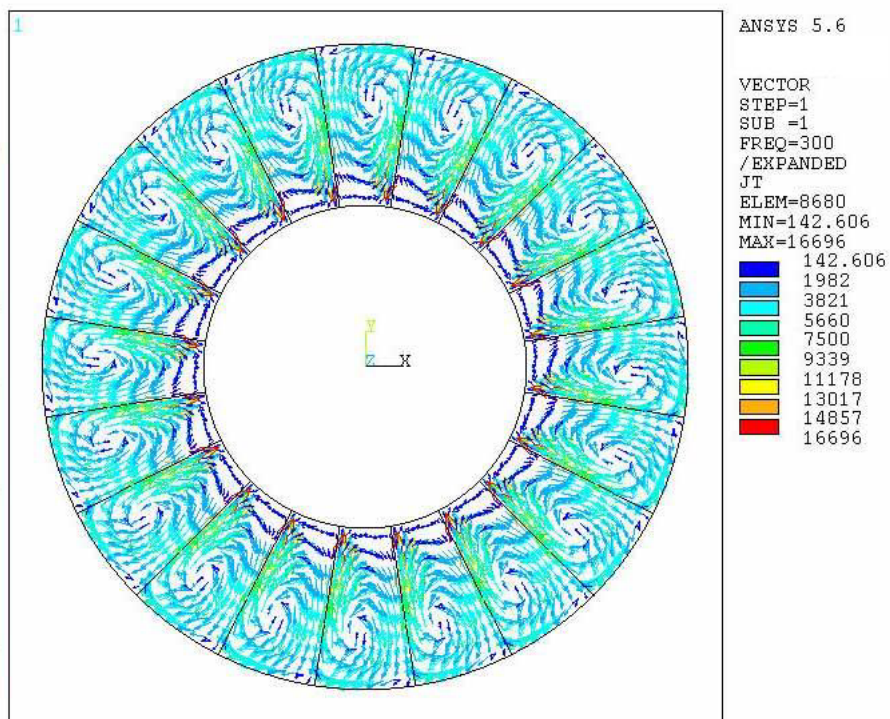


Figura 303. Componente imaginaria de la J del rotor. $f_e=300\text{Hz}$ - $f_r=12\text{Hz}$ - $s=0.20$. $p=20$.

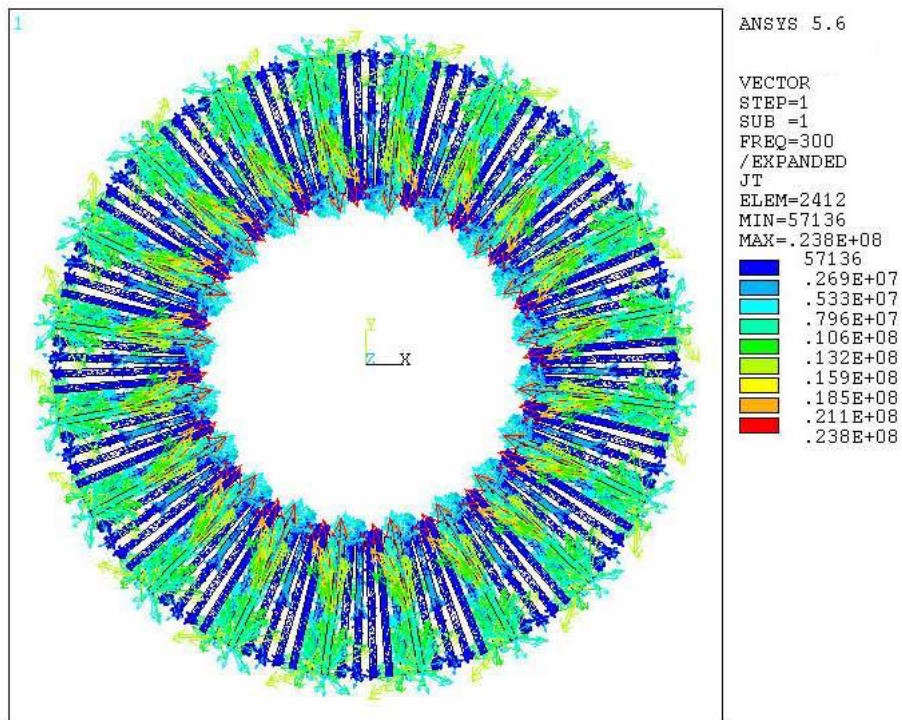


Figura 304. Componente imaginaria de las corrientes estáticas
 $f_e=300\text{Hz}$ - $f_r=12\text{Hz}$ - $s=0.20$. $p=20$.

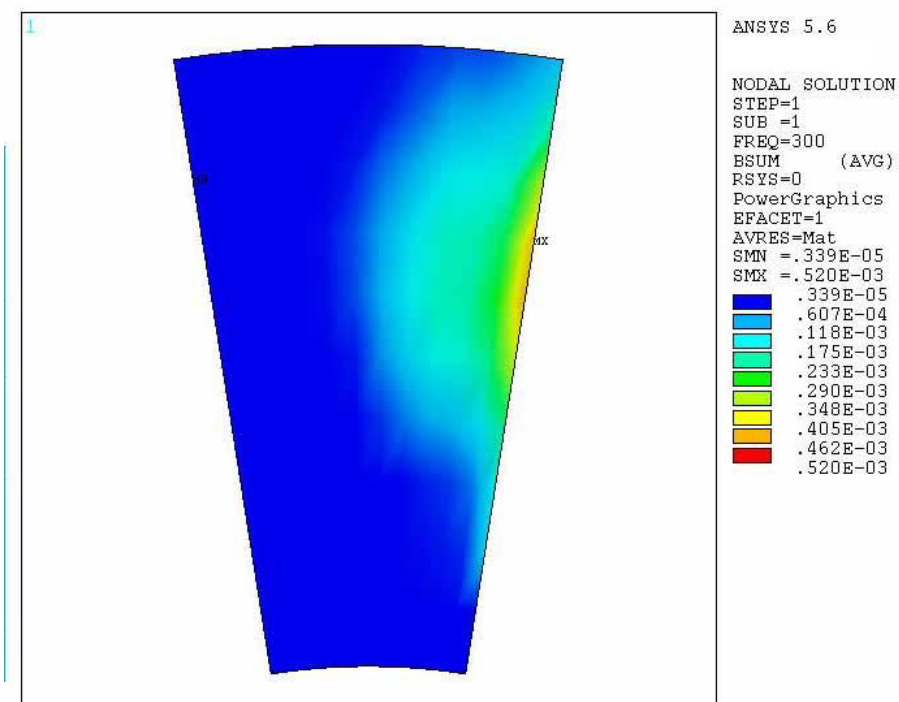


Figura 305. Componente real de la densidad de campo B.
 $f_e=300\text{Hz}$ - $f_r=12\text{Hz}$ - $s=0.20$. $p=20$.